

Приложение №1  
к протоколу № 1240-12-19/15-ЦТ  
от 26.12.2019

**Испытание на сейсмическое воздействие  
Источник бесперебойного питания «ЗАРЯД»**



## Содержание

1. Общие сведения.....	3
2. Нагрузки и воздействия, действующие на ИБП.....	4
3. Методика расчета .....	4
4. Расчет подстанции .....	8
4.1 Определение собственных частот колебаний ИБП: .....	8
4.2 Анализ сейсмического воздействия на ИБП: .....	11
4.3 Визуализация коэффициента запаса прочности от сейсмического воздействия .....	14
5. Общие выводы.....	15



## 1. Общие сведения

Испытание на сейсмическое воздействие на Источник бесперебойного питания «ЗАРЯД» (далее ИБП) выполнено на основании технической документации, ГОСТ 30546.1-98 «Общие требования к машинам, приборам и другим техническим изделиям и методы расчета их сложных конструкций в части сейсмостойкости».

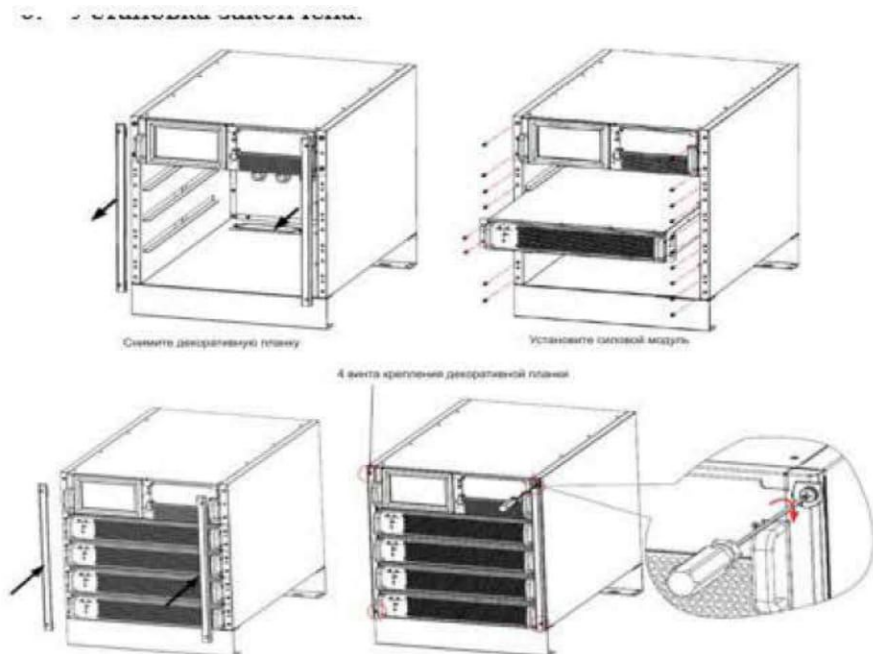


Рис. 1 Источник бесперебойного питания «ЗАРЯД» модель сфера РТ



## **2. Нагрузки и воздействия, действующие на ИБП**

На основании технической документации, был смоделирован ИБП.

В качестве статических и динамических нагрузок были приняты следующие типы нагрузок:

1. собственный вес с коэффициентом – 1,1;
2. сейсмическое воздействие в 9 баллов по шкале MSK-64.

## **3. Методика расчета**

Расчет выполнен в ПО ANSYS — универсальная программная система конечно-элементного (МКЭ) анализа. ANSYS аттестован в ГОСАТОМНАДЗОРЕ России

Расчет, выполняемый программой ANSYS, основан на классических инженерных представлениях и концепциях. При помощи численных методов эти концепции могут быть сформулированы в виде матричных уравнений, которые наиболее пригодны для конечно-элементных приложений.

Совокупность дискретных областей (элементов), связанных между собой в конечно-элементной модели. К степеням свободы относятся перемещения, повороты, температуры, давления, скорости, потенциалы электрических или магнитных полей; их конкретное содержание определяется типом элемента, который связан с данным узлом. В соответствии со степенями свободы для каждого элемента модели формируются матрицы масс, жесткости (или теплопроводности) и сопротивления (или удельной теплоемкости). Эти матрицы приводят к системам совместных уравнений, которые обрабатываются так называемыми “решателями”.

Для материалов с линейными свойствами напряжения связаны с деформациями соотношением:

$$\{\sigma\} = [D] \{\varepsilon_{el}\}, \quad (1)$$

где  $\{\sigma\} = [\sigma_x \ \sigma_y \ \sigma_z \ \sigma_{xy} \ \sigma_{yz} \ \sigma_{xz}]^T$  - вектор напряжений (как выходная величина помечается меткой S);

$[D]$  – матрица упругости (описывается уравнениями (17) ... (22), обратная матрица записывается в виде (3) и (4);

$\{\varepsilon_{el}\} = \{\varepsilon\} - \{\varepsilon_{th}\}$  - выходной массив;



$\{\varepsilon\} = [\varepsilon_x \varepsilon_y \varepsilon_z \varepsilon_{xy} \varepsilon_{xz} \varepsilon_{yz}]^T$  - вектор полной (суммарной) деформации;

$\{\varepsilon_{th}\}$  – вектор температурной деформации.

Компоненты вектора напряжений показаны на Рисунке 2. Для используемых в программе ANSYS напряжений и деформаций принято следующее правило знаков: величины, относящиеся к растяжению являются положительными, к сжатию – отрицательными. Компоненты сдвига считаются положительными, если их направления совпадают с направлениями соответствующих координатных осей. Деформации сдвига представляют собой инженерные деформации, а не компоненты тензора.

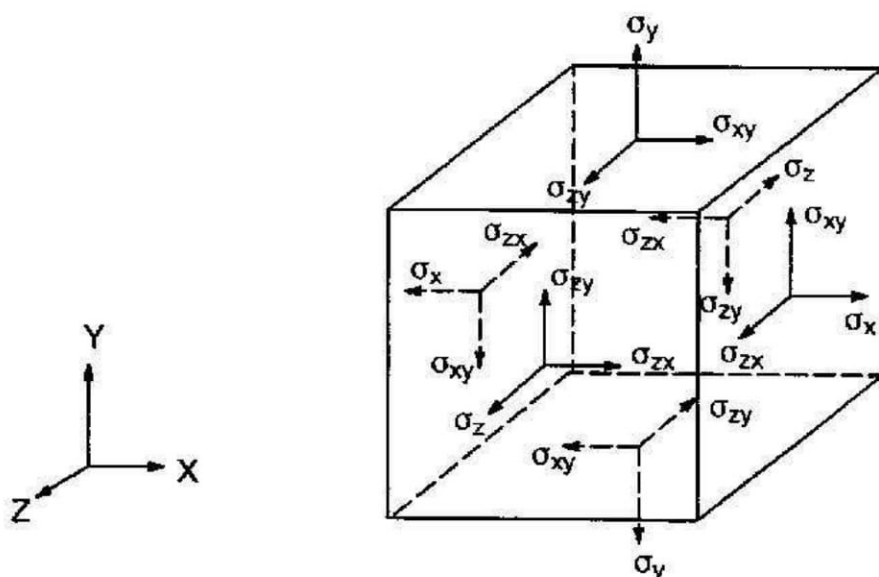


Рис. 2.2 - Компоненты вектора напряжений

Уравнение (1) может быть обращено следующим образом:

$$\{\varepsilon\} = \{\varepsilon_{th}\} + [D]^{-1} \{\sigma\}. \quad (2)$$

Матрица  $[D]^{-1}$ , нормализованная по столбцам, имеет вид:

$$[D]^{-1} = \begin{vmatrix} 1/E_x & -v_{xy}/E_y & -v_{xz}/E_z & 0 & 0 & 0 \\ -v_{yx}/E_x & 1/E_y & -v_{yz}/E_z & 0 & 0 & 0 \\ -v_{zx}/E_x & -v_{zy}/E_y & 1/E_z & 0 & 0 & 0 \\ 0 & 0 & 0 & 1/G_x & 0 & 0 \\ 0 & 0 & 0 & 0 & 1/G_y & 0 \\ 0 & 0 & 0 & 0 & 0 & 1/G_z \end{vmatrix} \quad (3)$$



При использовании нормализация по строкам, матрица записывается следующим образом:

$$[D] - 1 = \begin{vmatrix} 1/Ex & -v^*xy/Ey & -v^*xz/Ez & 0 & 0 & 0 \\ -v^*yx/Ex & 1/Ey & -v^*yz/Ez & 0 & 0 & 0 \\ -v^*zx/Ex & -v^*zy/Ey & 1/Ez & 0 & 0 & 0 \\ 0 & 0 & 0 & 1/Gxy & 0 & 0 \\ 0 & 0 & 0 & 0 & 1/Gyz & 0 \\ 0 & 0 & 0 & 0 & 0 & 1/Gzx \end{vmatrix} \quad (4)$$

Для записи элементов этих матриц используются обозначения:

$E_x$  – модуль Юнга в направлении оси  $x$ ,

$\nu_{xy}$  – минимальный коэффициент Пуассона,

$\nu^{*xy}$  – максимальный коэффициент Пуассона,

$G_{xy}$  – модуль сдвига в плоскости  $x-y$ .

Матрица  $[D]$ -1 должна быть положительно определенной. Кроме того, эта матрица должна быть симметричной, поэтому для ортотропных материалов предполагается существование соотношений:

$$v_{yx} / E_x = v_{xy} / E_y \quad (5)$$

$$\nu_{ZX} / E_X = \nu_{XZ} / E_Z \quad (6)$$

$$\gamma_{ZY} / E_Y = \gamma_{VZ} / E_Z \quad (7)$$

ИШИ

$$\gamma^* v_x / E_v = \gamma^* v_y / E_x \quad (8)$$

$$\gamma^*_{\text{ZX}} / E_Z = \gamma^*_{\text{XZ}} / E_X \quad (9)$$

$$\gamma^* zv / Ez = \gamma^* vz / Ev \quad (10)$$

Согласно допустимым выше соотношениям, величины  $v_{xy}$ ,  $v_{zy}$ ,  $v_{zx}$ ,  $v^*_{yx}$ ,  $v^*_{zy}$  и  $v^*_{zx}$  являются зависимыми и поэтому не задаются при вводе исходных данных.

Из равенства (2) в развернутом виде, используя выражения (3), а также (5) ... (7), получаем шесть уравнений:

$$\epsilon_x = \alpha_x \Delta T + \sigma_x / E_x - \nu_{xy} \sigma_y / E_y - \nu_{xz} \sigma_z / E_z \quad (11)$$

$$\epsilon_y = \alpha_y \Delta T + \sigma_y / E_y - \gamma_{xy} \sigma_x / E_y - \gamma_{yz} \sigma_z / E_z \quad (12)$$

$$\varepsilon_z = \alpha z \Delta T + \sigma_z / E_z - v_{xz} \sigma_x / E_z - v_{yz} \sigma_y / E_z$$

$$\epsilon_{\text{XV}} = \sigma_{\text{XV}} / G_{\text{XV}}$$



$$\sigma_{yz} = \epsilon_{yz} / G_{yz} \quad (15)$$

$$\sigma_{xz} = \epsilon_{xz} / G_{xz}, \quad (16)$$

где  $\epsilon_x$  - деформация в направлении оси x,

$\epsilon_{xy}$  - деформация сдвига в плоскости x - y,

$\sigma_x$  - напряжения в направлении оси x,

$\sigma_{xy}$  - напряжения сдвига в плоскости x - y,

компоненты с другими индексами получаются циклическим сдвигом (x - y - z).

Уравнение (1) можно переписывать в развернутом виде, используя обратную матрицу (3), что вместе с уравнениями (5) ... (7) дает шесть соотношений для напряжений:

$$\begin{aligned} \sigma_x &= Ex/h [1 - (vyz)^2 Ey/Ez] (\epsilon_x - \alpha_x \Delta T) + Ex/h [vxy + vxzvyz Ey/Ez] (\epsilon_y - \alpha_y \Delta T) + \\ &\quad Ex/h [vxz + vyzvxy] (\epsilon_z - \alpha_z \Delta T) \end{aligned} \quad (17)$$

$$\begin{aligned} \sigma_y &= Ex/h [vxy + vxzvyz Ez/Ey] (\epsilon_x - \alpha_x \Delta T) + Ey/h [1 - (vxz)^2 Ex/Ez] (\epsilon_y - \alpha_y \Delta T) + \\ &\quad Ey/h [vyz + vxzvxy Ex/Ey] (\epsilon_z - \alpha_z \Delta T) \end{aligned} \quad (18)$$

$$\begin{aligned} \sigma_z &= Ex/h [vxz + vyzvxy] (\epsilon_x - \alpha_x \Delta T) + Ey/h [vyz + vxzvxy Ex/Ey] (\epsilon_y - \alpha_y \Delta T) + \\ &\quad Ez/h [1 - (vxy)^2 Ex/Ey] (\epsilon_z - \alpha_z \Delta T) \end{aligned} \quad (19)$$

$$\sigma_{xy} = G_{xy} \epsilon_{xy} \quad (20)$$

$$\sigma_{yz} = G_{yz} \epsilon_{yz} \quad (21)$$

$$\sigma_{xz} = G_{xz} \epsilon_{xz}, \quad (22)$$

в которых обозначено:  $h = 1 - (vxy)^2 Ex/Ey - (vyz)^2 Ey/Ez - (vxz)^2 Ex/Ez - 2$

$vxy \ vyz \ vxz \ Ex/Ez$ .

Если модули сдвига  $G_{xy}$ ,  $G_{yz}$ ,  $G_{xz}$  не задаются при вводе, то их значения вычисляются следующим образом:

$$G_{xy} = (Ex \ Ey) / (Ex + Ey + 2 vxy \ Ex) \quad (23)$$

$$G_{yz} = G_{xy} \quad (24)$$

$$G_{xz} = G_{xy} \quad (25)$$



## 4. Расчет подстанции

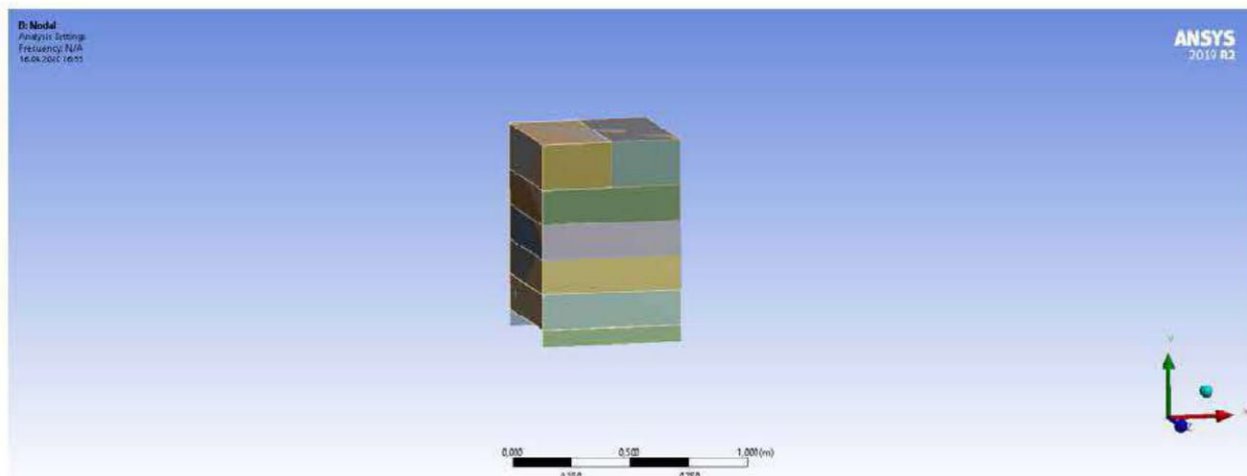


Рис. 2 Расчетная аппроксимированная модель

### 4.1 Определение собственных частот колебаний ИБП:

№ Рис.	Форма колебаний	Частота , Гц
4	1	75,767
5	2	260,28
6	3	454,68
7	4	483,49
8	5	507,37
9	6	508,01

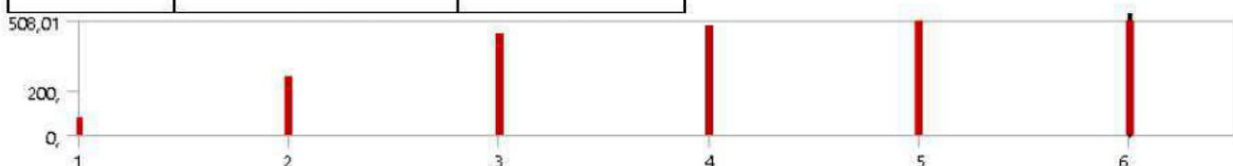


Рис. 3 Гистограмма собственных частот колебаний



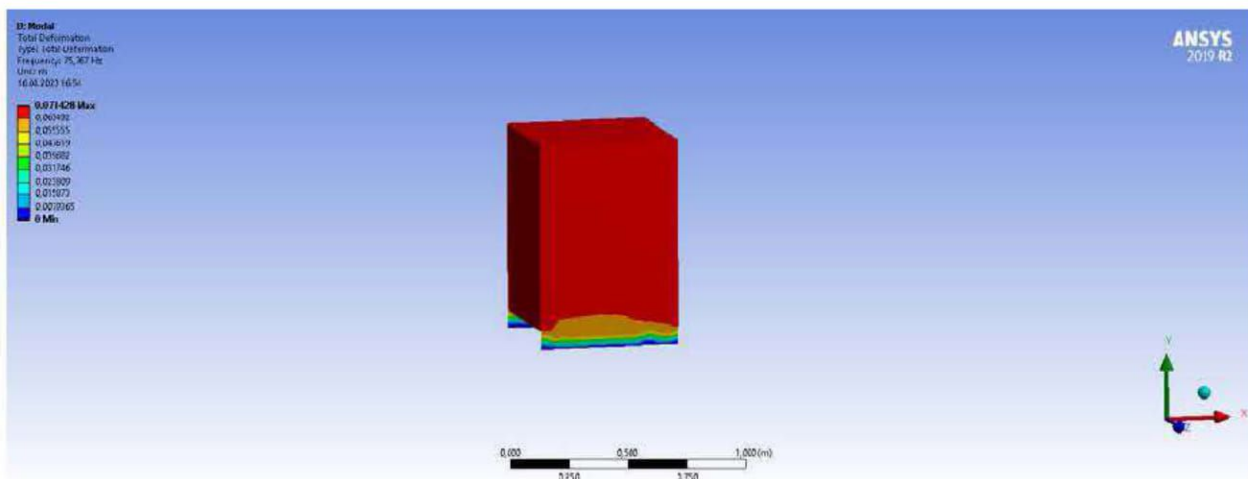


Рис. 4 Амплитуда при 1-й форме колебаний [м]

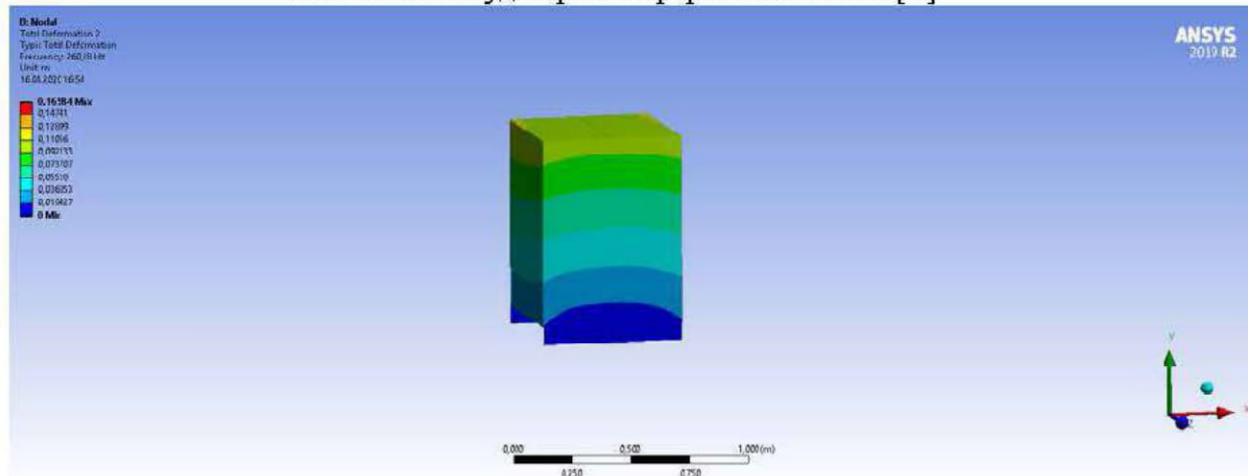


Рис. 5 Амплитуда при 2-й форме колебаний [м]

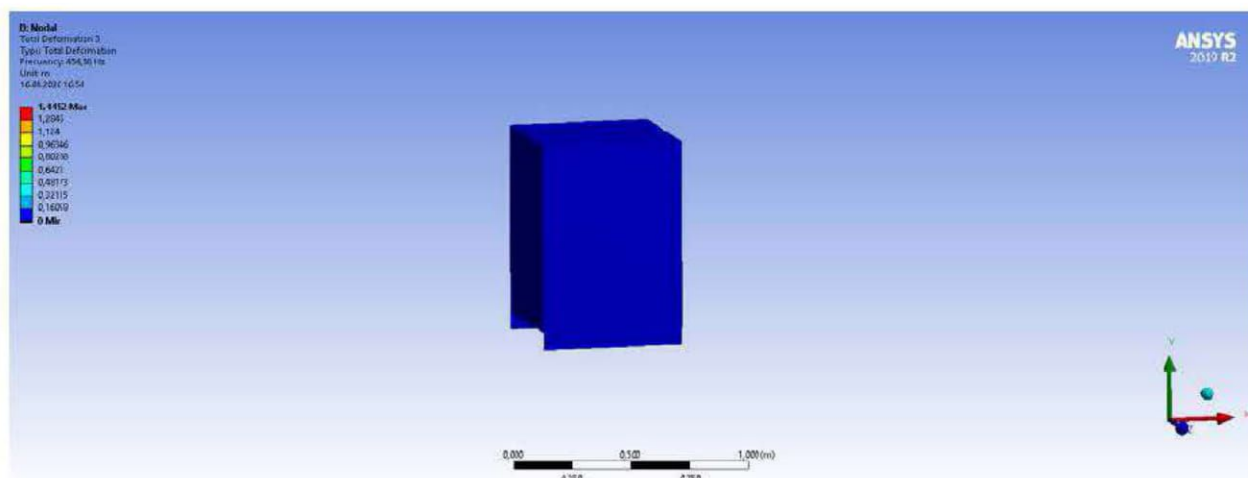


Рис. 6 Амплитуда при 3-й форме колебаний [м]



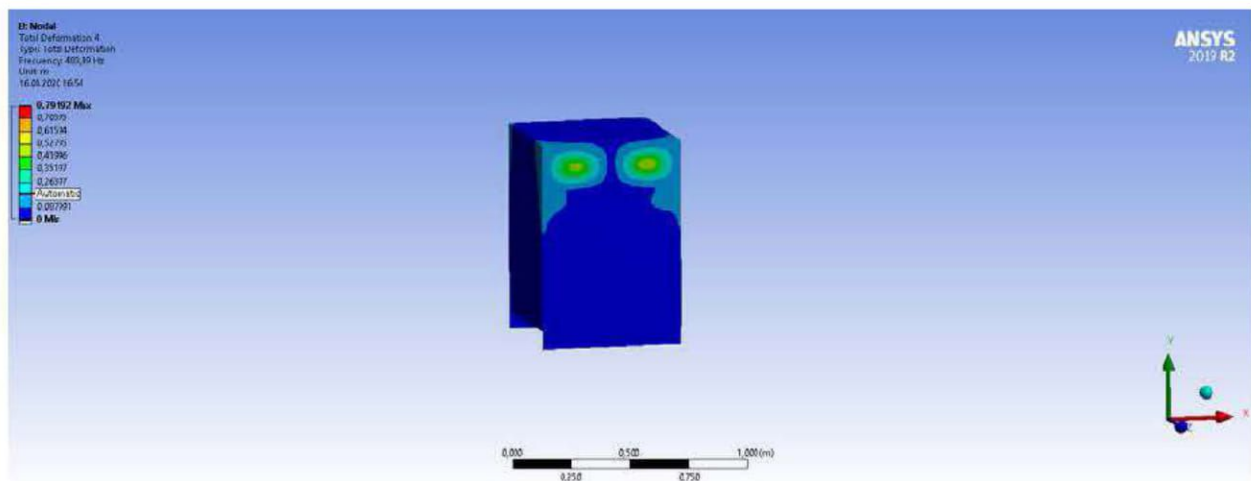


Рис. 7 Амплитуда при 4-й форме колебаний [м]

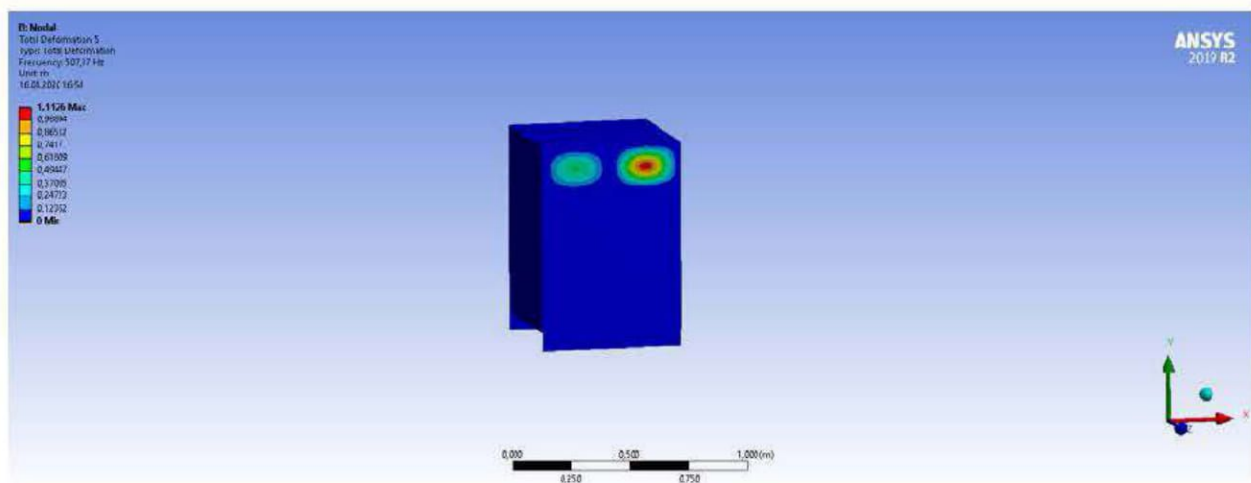


Рис. 8 Амплитуда при 5-й форме колебаний [м]

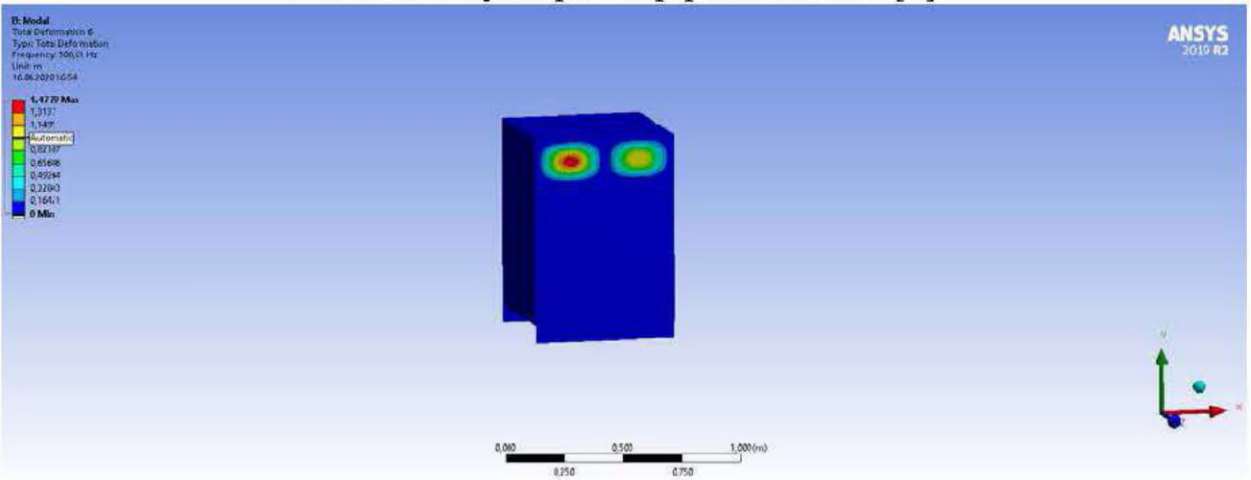


Рис. 9 Амплитуда при 6-й форме колебаний [м]



#### 4.2 Анализ сейсмического воздействия на ИБП:

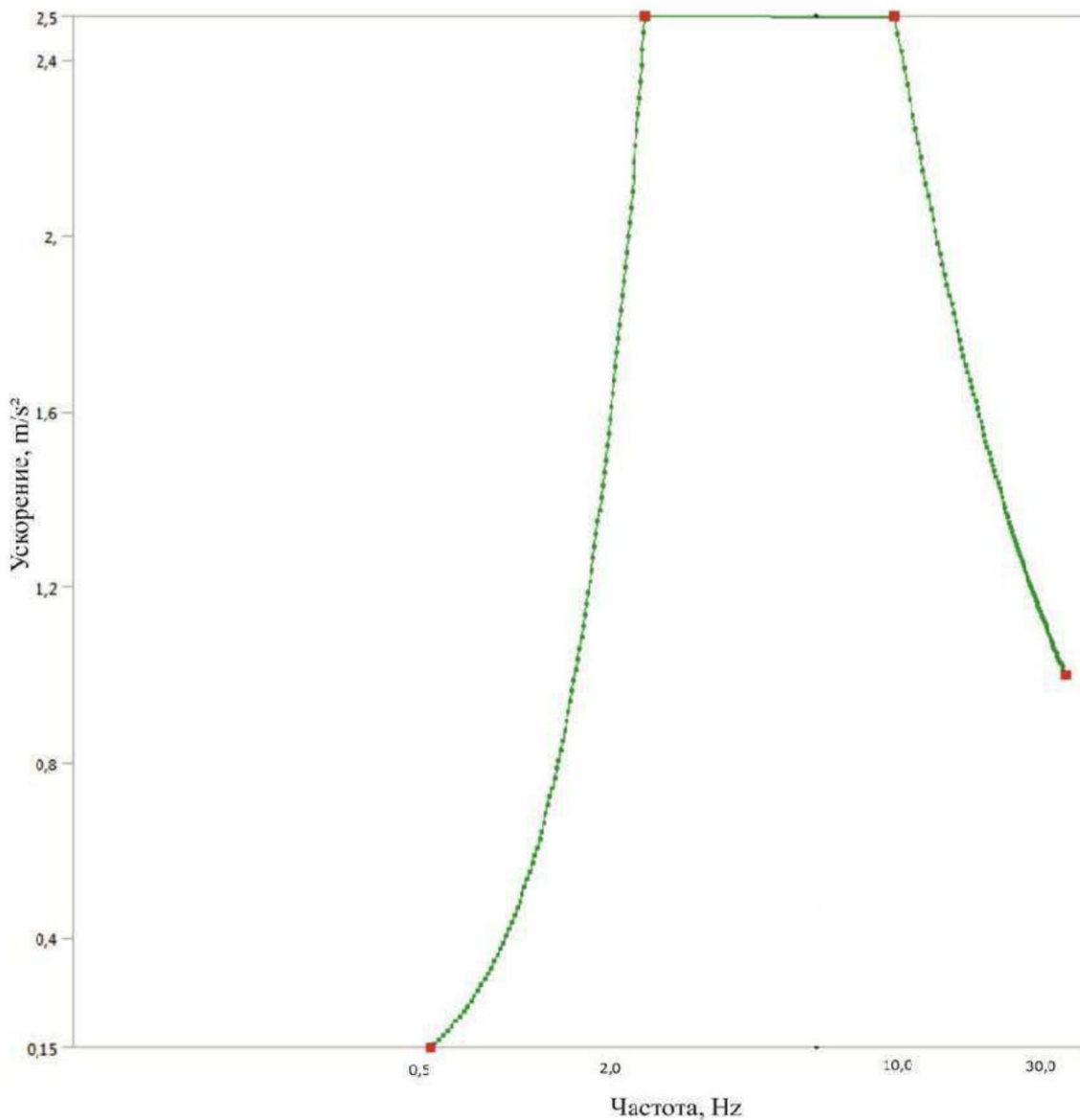


Рис.10 График зависимости между максимальной амплитуды ускорения и частотой синусоидальной вибрации – расчетный спектр воздействия

Частота [Hz]	Ускорение [ $(\text{m/s}^2)$ ]
0,5	0,15
2,	2,5
10,	
30,	1,0



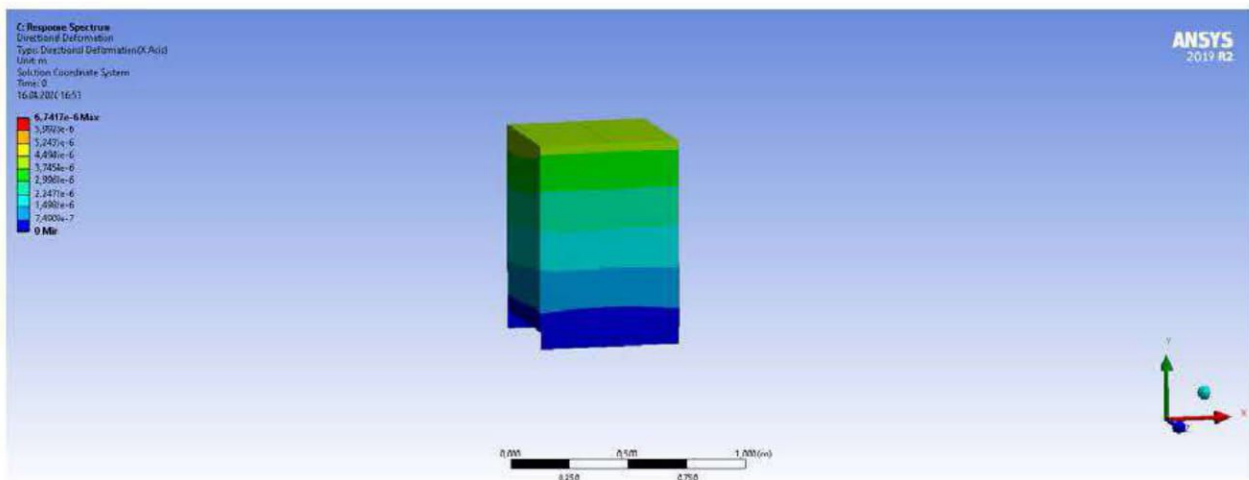


Рис. 11 Перемещения по оси X [м]

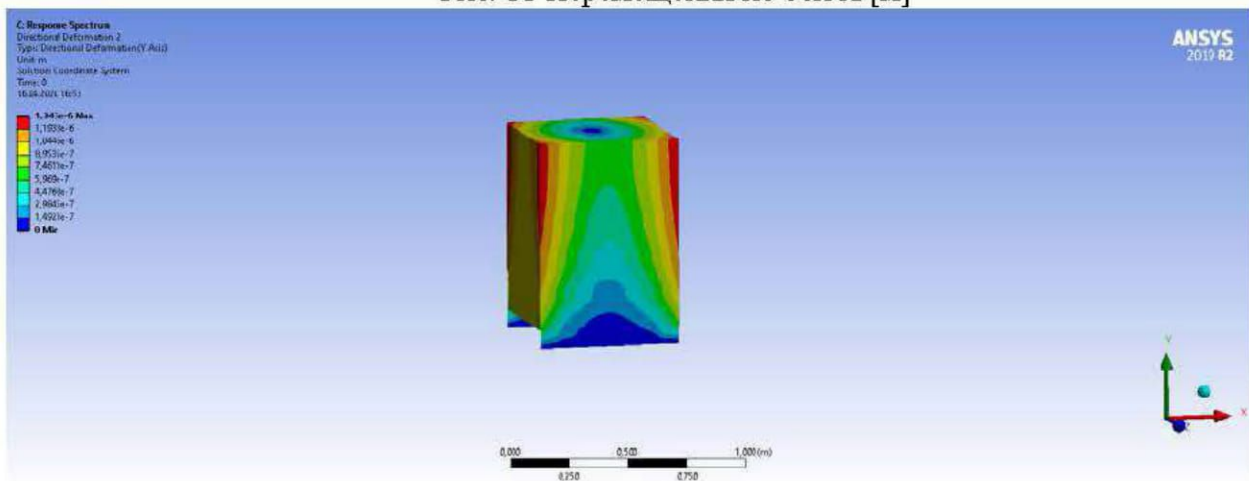


Рис. 12 Перемещения по оси Y [м]

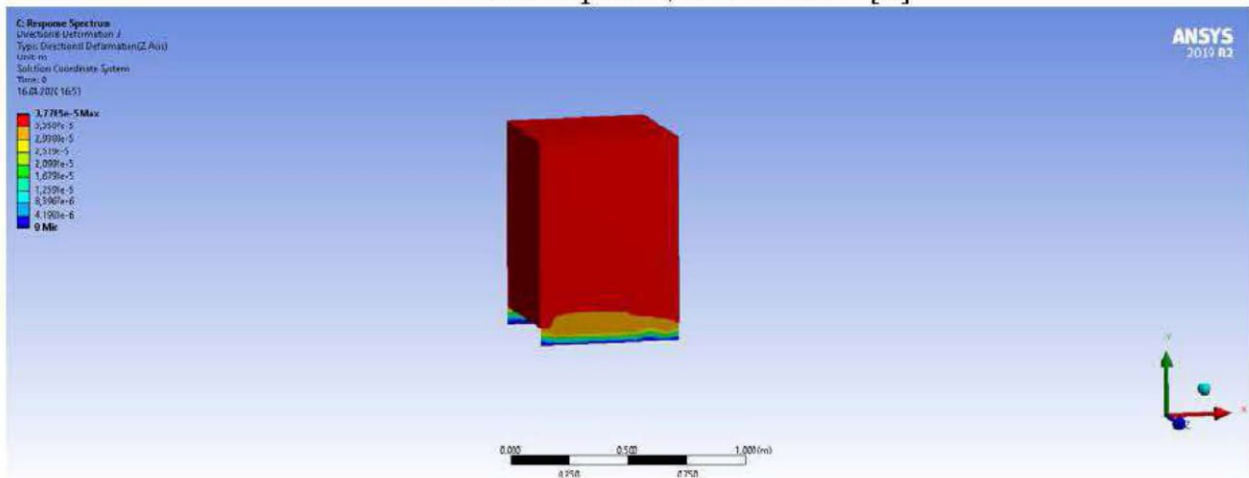


Рис. 13 Перемещения по оси Z [м]



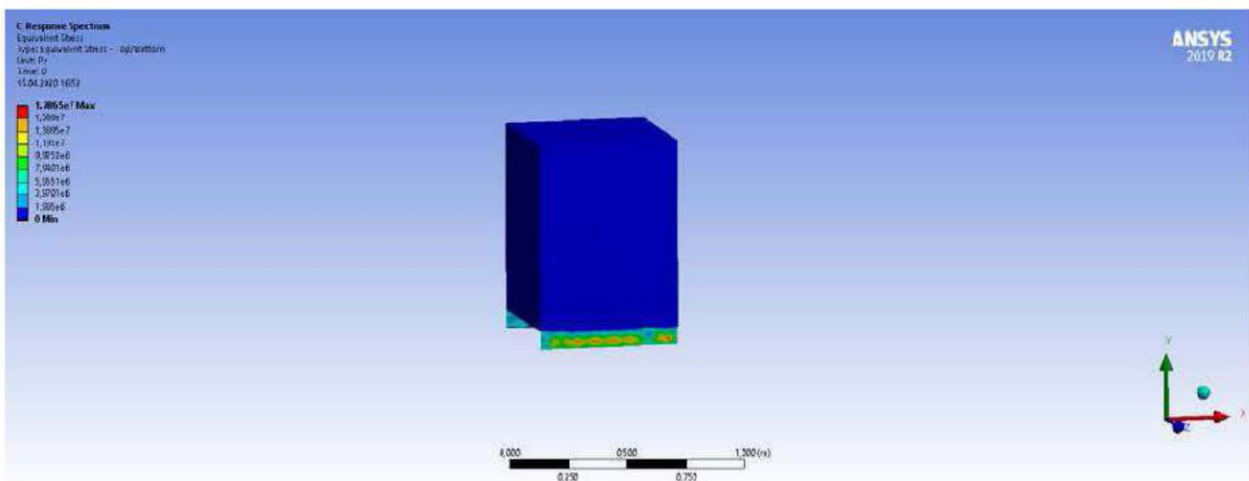


Рис. 14 Эквивалентные напряжения [Па]

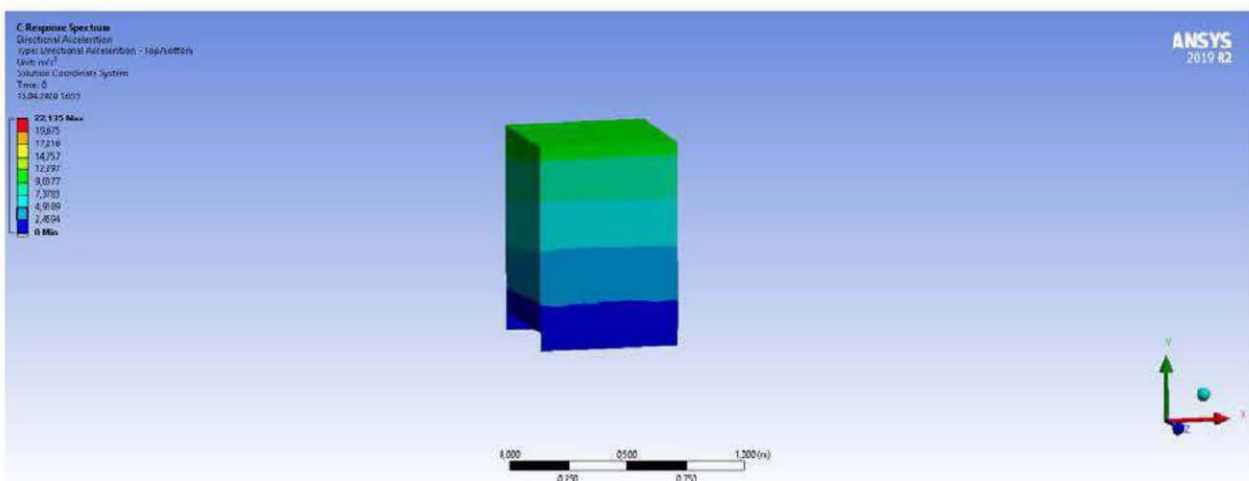


Рис. 15 Ускорение по оси X [м/с<sup>2</sup>]

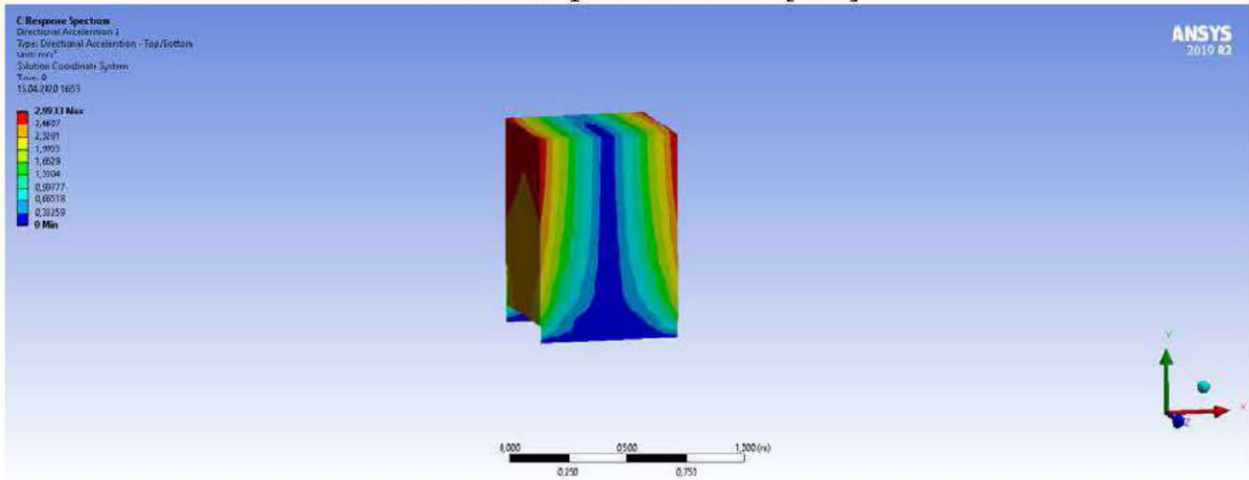


Рис. 16 Ускорение по оси Y [м/с<sup>2</sup>]



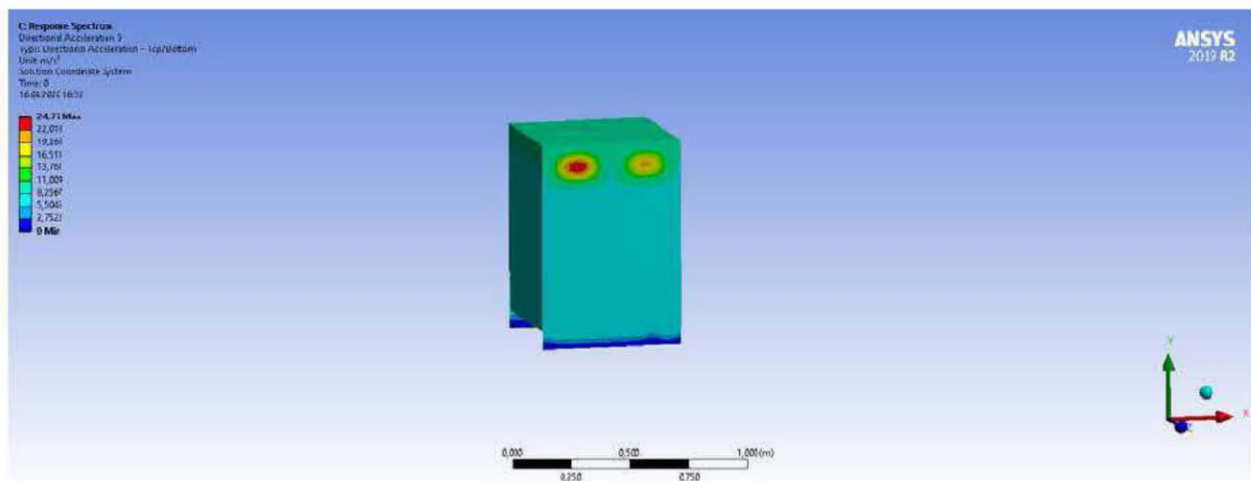


Рис. 17 Ускорение по оси Z [м/с<sup>2</sup>]

#### 4.3 Визуализация коэффициента запаса прочности от сейсмического воздействия

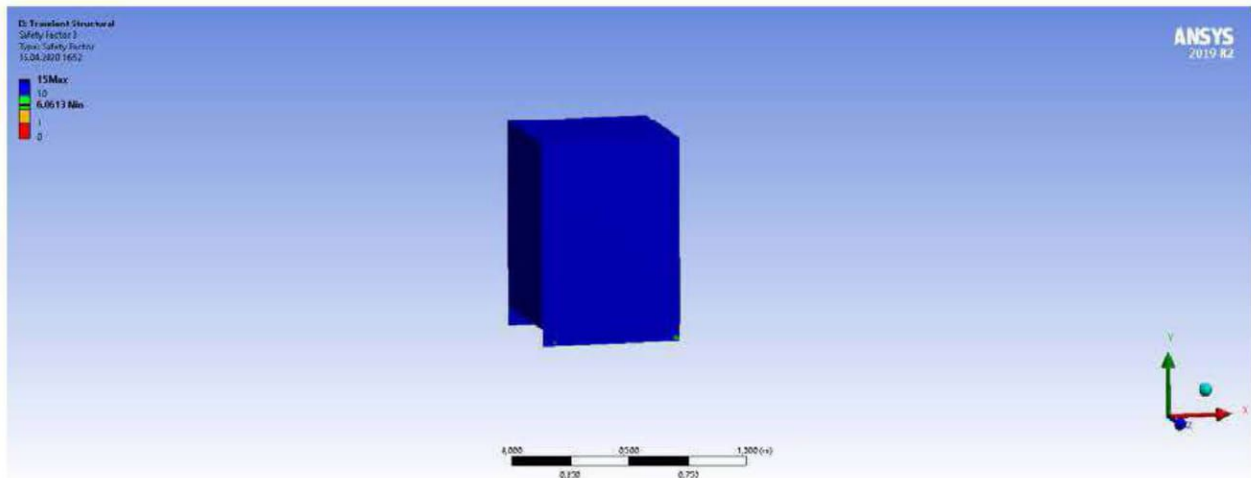


Рис.18 Визуализация коэффициента запаса прочности



## **5. Общие выводы**

1. Испытание на сейсмическое воздействие на Источник бесперебойного питания «ЗАРЯД» выполнено на основании технической документации, ГОСТ 30546.1-98 «Общие требования к машинам, приборам и другим техническим изделиям и методы расчета их сложных конструкций в части сейсмостойкости», ГОСТ 30631-99 «Общие требования к машинам, приборам и другим техническим изделиям в части стойкости к механическим внешним действующим факторам при эксплуатации», СП 14.13330.2018 «Строительство в сейсмических районах»;
2. В испытании представлены: собственные частоты колебаний ИБП, сейсмическое воздействие на ИБП, визуализация коэффициента запаса прочности;
3. На основании проведенного испытания можно сделать вывод, что прочность Источника бесперебойного питания «ЗАРЯД» от сейсмического воздействия в 9 баллов по шкале MSK-64 обеспечена.

